

ΕΡΓΑΣΤΗΡΙΑΚΗ ΑΣΚΗΣΙΣ 9ΕΛΕΓΧΟΣ ΘΕΡΜΙΚΗΣ ΔΙΕΡΓΑΣΙΑΣ

(Συσκευή: 'Εκπαιδευτικόν Σύστημα PT 326 Σχ. 2)

1. ΑΠΑΡΑΙΤΗΤΟΙ ΓΝΩΣΕΙΣ

- (I) Αύτόματος έλεγχος φυσικών και χημικών διεργασιών
- (II) "Έλεγχος ένδος; δύο και τριῶν όρων.
- (III) 'Απόκρισις κατά συχνότητα.

2. ΒΙΒΛΙΟΓΡΑΦΙΑ

- 1) Σπ. Τζαφέστα: Θέματα Βιομηχανικών ΣΑΕ (Αύτόματος Έλεγχος 2 και 3 όρων φυσικών και χημικών διεργασιών) -Σημειώσεις Παραδόσεων.
- 2) Σπ. Τζαφέστα: Συστήματα Αύτομάτου Έλέγχου I (Διαγράμματα Nyquist και Bode) -Σημειώσεις Παραδόσεων
- 3) T.Weber: An Introduction to process dynamics and Control, Κεφ. 14 (J.Wiley, 1973).

3. ΠΕΡΙΓΡΑΦΗ ΤΗΣ ΘΕΡΜΙΚΗΣ ΔΙΕΡΓΑΣΙΑΣ PT326

"Η διάταξις PT326 (Process Trainer) περιλαμβάνει τό ύπό "έλεγχον θερμικόν σύστημα" και τήν "μονάδα έλέγχου". Εχει τά χαρακτηριστικά μιᾶς μεγάλης έγκαταστάσεως, ήτοι περιέχει καθαράν χρονικήν καθυστέρησιν μεταφορᾶς, σταθεράν χρόνου, μονάδα άναλόγου έλέγχου, μονάδα έλεγχου δύο όρων κτλ. Θέτοντες τόν διακόπτην είς τήν θέσιν FAST έχομεν ταχείαν λειτουργίαν, αὶ δέ μεταβολαί τῆς SET VALUE (τιθεμένης τιμῆς) και τῆς MEASURED VALUE (μετρουμένης τιμῆς) δύνανται νά παρατηρηθοῦν διά παλμογράφου.

Είς τήν διάταξιν αύτήν ὁ ἀήρος δόδηγεται τῇ βοηθείᾳ φυσητήρος ἀπό τήν άτμοδσφαιραν είς ἐν στοιχεῖον θερμάνσεως και ἐν συνεχείᾳ τῇ βοηθείᾳ ἐνός ἀγωγοῦ ἐπαναφέρεται είς τήν άτμοδσφαιρα.

Η διεργασία συνίσταται είς τήν θέρμανσιν τοῦ ἀέρος μέχρις μιᾶς ἐπιθυμουμένης θερμοκρασίας, ὁ δέ σκοπός τῆς μονάδος έλέγχου εἶναι νά μετρᾶ τήν θερμοκρασίαν τοῦ ἀέρος, νά τήν συγκρίνῃ μέ τήν SET VALUE και νά παράγη ἐν σῆμα έλέγχου τό δόποῖον νά καθορίζῃ τό ποσόν τῆς ἡλεκτρικῆς ἐνεργείας τό ἀπαιτούμενον ἀπό τό διορθωτικόν στοιχεῖον.

Η σχηματική παράστασις τοῦ συστήματος και ἡ πρόσοψις (ταμπλώ) τῆς διατάξεως PT326 δεικνύονται είς τά Σχ. 1 και 2. Η διάταξις περιλαμβάνει τελεστικούς. ἐνισχυτάς ὀλοκληρωμένων κυκλωμάτων ως και δλα τά ἀπαιτούμενα τροφοδοτικά.

Κατωτέρω δίδομεν μίαν σύντομον περιγραφή τῶν βασικῶν στοιχείων τῆς διατάξεως.

Στοιχεῖον ἀναδείξεως σφάλματος (DETECTING ELEMENT)

Τοῦτο ἀποτελεῖται ἀπό ἐν θερμίστορ τό δόποῖον τίθεται είς τό ἄκρον ἐνός ἀκροδέκτου (probe) δυναμένου νά εἰσέρχεται ἐντός τοῦ ἀεραγωγοῦ και

είς άποστάσεις 1.1 in, 5.5 in και 11 in άπό τό στοιχεῖον θερμάνσεως.

#### Στοιχεῖον μετρήσεως (MEASURING ELEMENT)

Τοῦτο άποτελεῖται άπό μίαν γέφυραν συνεχοῦς ισορροποῦσα είς τούς  $40^{\circ}\text{C}$ . Η έξοδος τῆς γεφύρας έφαρμόζεται είς ένα ένισχυτήν συνεχοῦς παράγοντα τάσιν 0 έως  $+10$  διά μεταβολήν θερμοκρασίας  $30^{\circ}$  έως  $60^{\circ}\text{C}$ . Η έξοδος τοῦ στοιχείου μετρήσεως λαμβάνεται άπό τό σημεῖον Υ τοῦ ταμπλώ.

#### Μετρουμένη τιμή $\theta_o$ (MEASURED VALUE)

Αὕτη είναι τό σῆμα έξόδου τοῦ στοιχείου μετρήσεως.

#### Τιθεμένη τιμή $\theta_i$ (SET VALUE)

Αὕτη είναι ή τιμή είσοδου ή διοία τίθεται είς τήν μονάδα έλέγχου. Η τιθεμένη τιμή χρησιμοποιεῖται διά τήν δύνψωσιν τῆς θερμοκρασίας τοῦ άέρος είς τούς  $60^{\circ}\text{C}$  και δύναται νά ρυθμισθῇ έξωτερικῶς δι'έφαρμογῆς είς τό σημεῖον D τοῦ ταμπλώ τάσεως 0 έως 10 V. Αρνητική μεταβολή τῆς τάσεως προκαλεῖ αὔξησιν τῆς θερμοκρασίας τῆς διεργασίας.

#### Απόκλισις (DEVIATION)

Απόκλισις είναι ή διαφορά μεταξύ τῆς μετρουμένης και τιθεμένης τιμῆς ήτοι  $\theta = \theta_o - \theta_i$ .

#### Διαταραχή τῆς τιθεμένης τιμῆς (SET VALUE DISTURBANCE)

Στρέφοντες τόν διακόπτην τοῦ SET VALUE DISTURBANCE είς τήν θέσιν INTERNAL έπερχεται μία σταθερά μεταβολή είς τήν τιθεμένην τιμήν.

#### Συγκρίνον στοιχεῖον (COMPARING ELEMENT)

Διά τήν σύγκρισιν τῆς μετρουμένη τιμῆς μέ τήν τιθεμένην τιμήν χρησιμοποιεῖται τελεστικός ένισχυτής. Η έξοδος αύτοῦ παριστᾶ άπόκλισιν ή διοία δύναται νά ληφθῇ άπό τό σημεῖον B τοῦ ταμπλώ.

#### Στοιχεῖον έλέγχου (CONTROLLING ELEMENT)

Είς τό στοιχεῖον έλέγχου έφαρμόζεται έν σῆμα άνάλογον τῆς άποκλίσεως τό διοίον παράγει τό σῆμα έλέγχου τό τροφοδοτούμενον είς τό διορθωτικόν στοιχεῖον. Τό στοιχεῖον έλέγχου δύναται νά άσκῃ άνάλογον έλεγχον ή έλεγχον δύο όρων. Τό σῆμα έλέγχου λαμβάνεται άπό τό σημεῖον C τοῦ ταμπλώ.

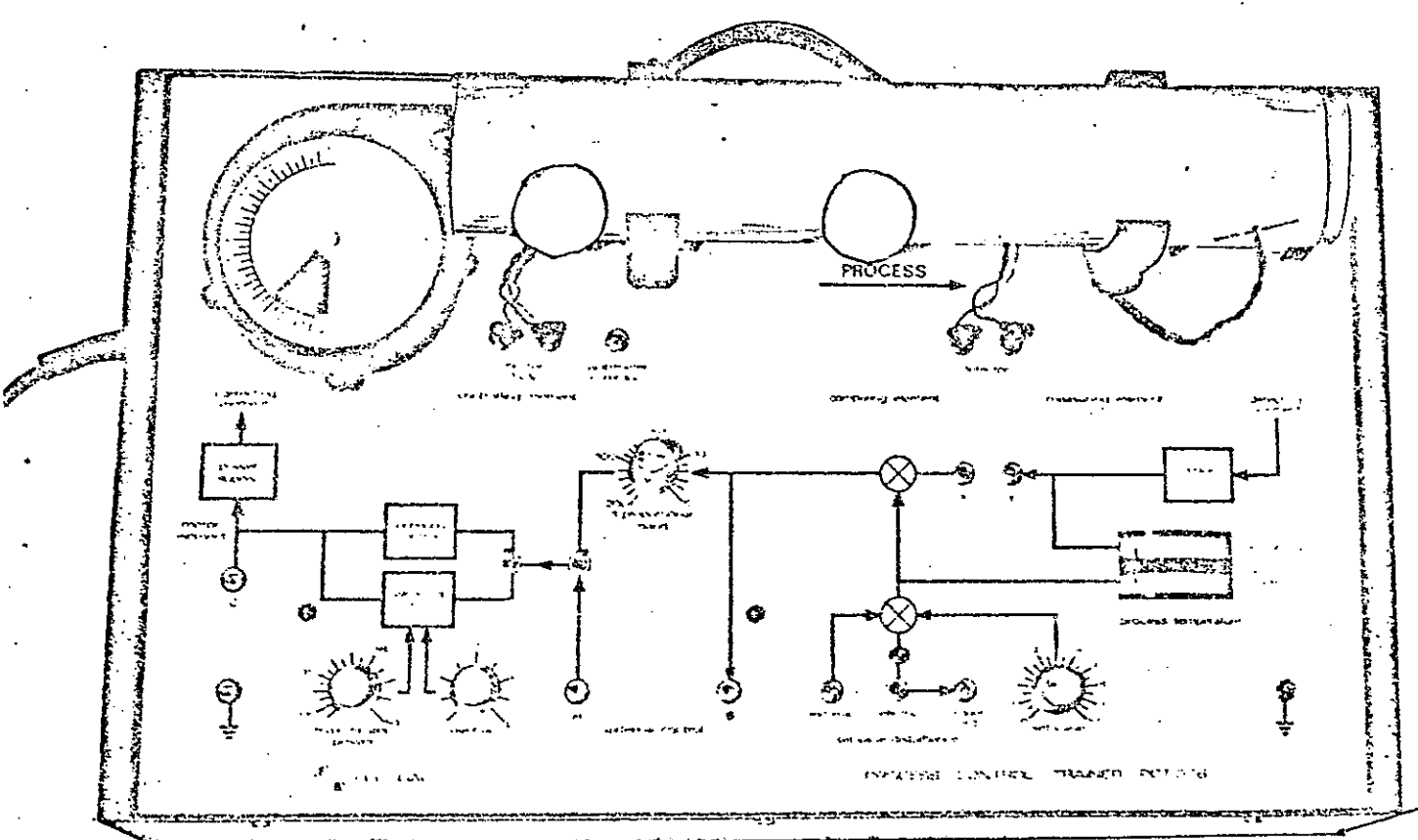
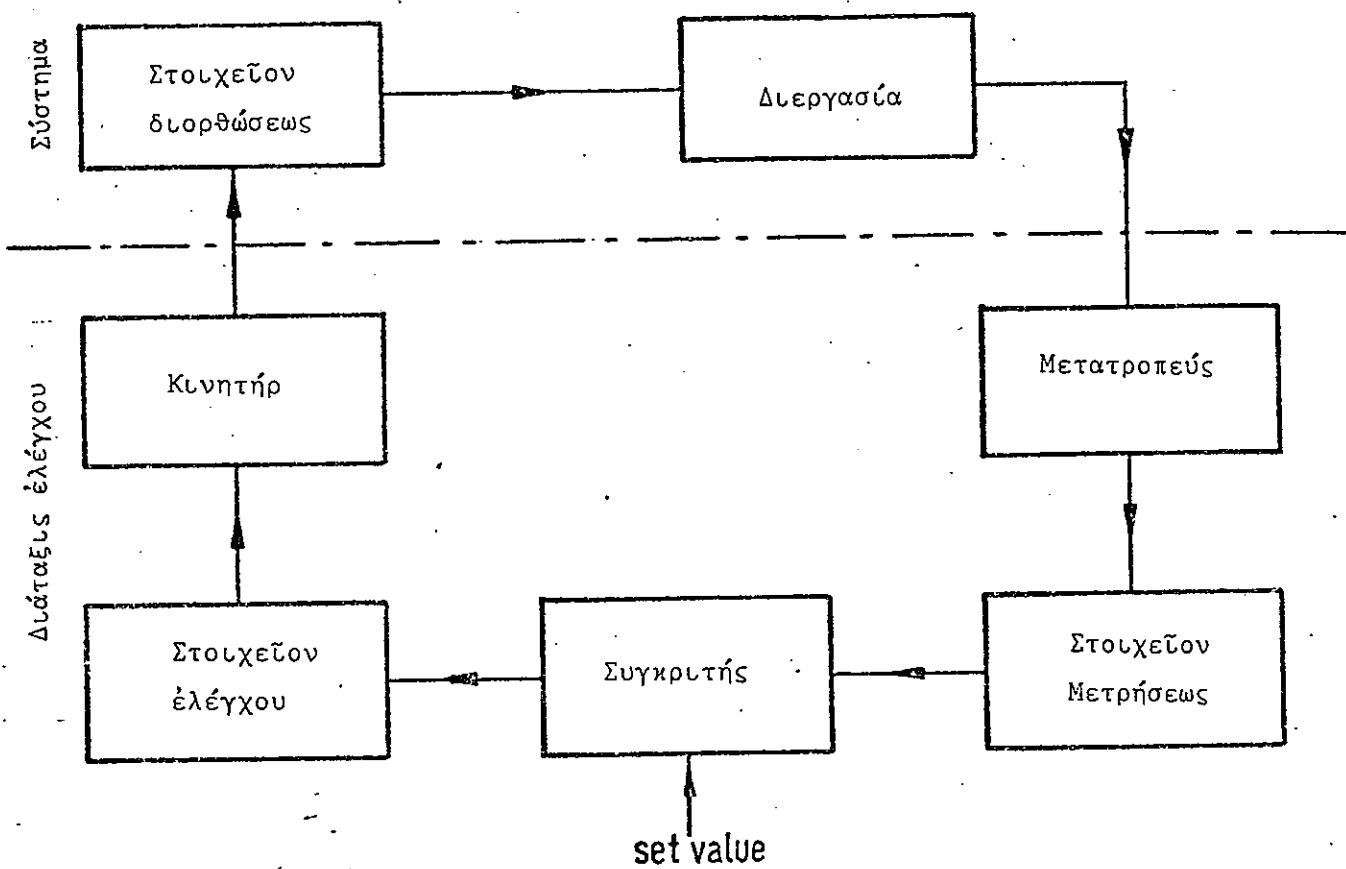
#### Στοιχεῖον κινητήρος (MOTOR ELEMENT)

Είς τήν παροῦσα διάταξιν PT326 τό στοιχεῖον κινητήρος, είναι έν τροφοδοτικόν τό διοίον δίδει ήλεκτρικήν έξοδον 15 έως 80 Watts. Εν γένει είς τήν πρᾶξιν ή έξοδος τοῦ στοιχείου τούτου δύναται νά ληφθῇ ως ήλεκτρική τάσις, μηχανική μετατόπισις ήτλ.

#### 4. ΠΕΙΡΑΜΑΤΙΚΗ ΕΡΓΑΣΙΑ

##### Μέρος 1: Προκαταρκτικά

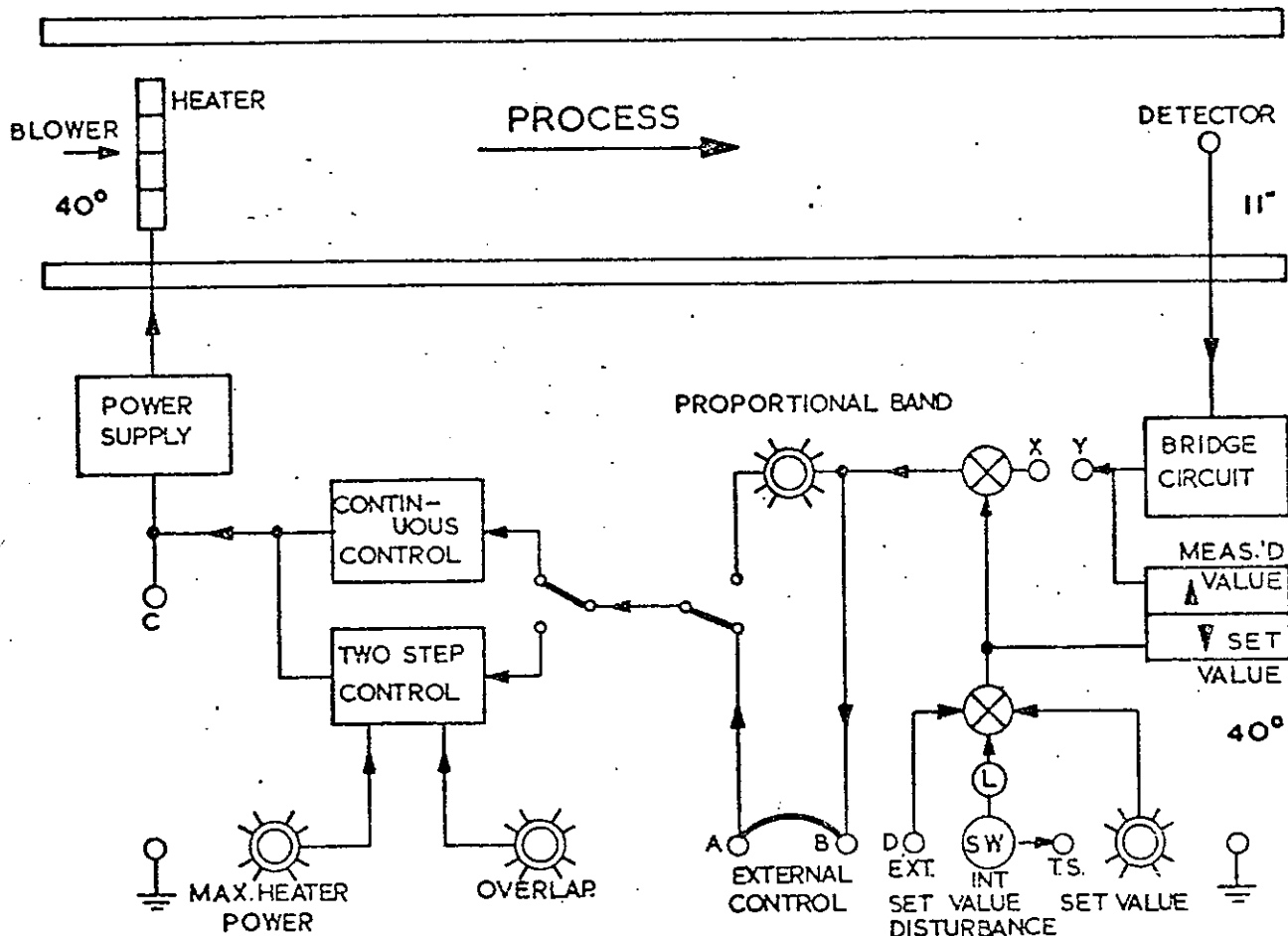
- Εκτελούμεν τάς συνδέσις τοῦ Σχ.3 και άκολούθως συνδέομεν τήν διάταξιν μέ τήν τροφοδοσίαν (διακόπτης εύρισκεται είς τό πλάγιον άριστερόν μέ-



Σχ. 2:

ρος αύτης).

2. Αναμένομεν μέχρις ότου ή συσκευή θερμανθή (διά χρονικόν διάστημα μέχρι 30 λεπτά της ώρας).
3. Μέ τήν βοήθειαν τοῦ διακόπτου έλεγχομεν έάν μεταβολή της SET VALUE έπιφέρη μεταβολήν είς τήν set value καί measured value τοῦ διπλοῦ δργάνου μετρήσεως.
4. Θέτομεν τόν διακόπτην διαταραχῆς της τιθεμένης τιμῆς (SET VALUE DISTURBANCE) είς τήν θέσιν ON καί έλεγχομεν έάν πυρακτώται ή διατιθεμένη ένδεικτική λυχνία καί έάν αύξανουν αι ένδειξεις της SET VALUE καί τη MEASURED VALUE.



Σχ. 3. Συνδεσμολογία προκαταρκτικής έργασίας.

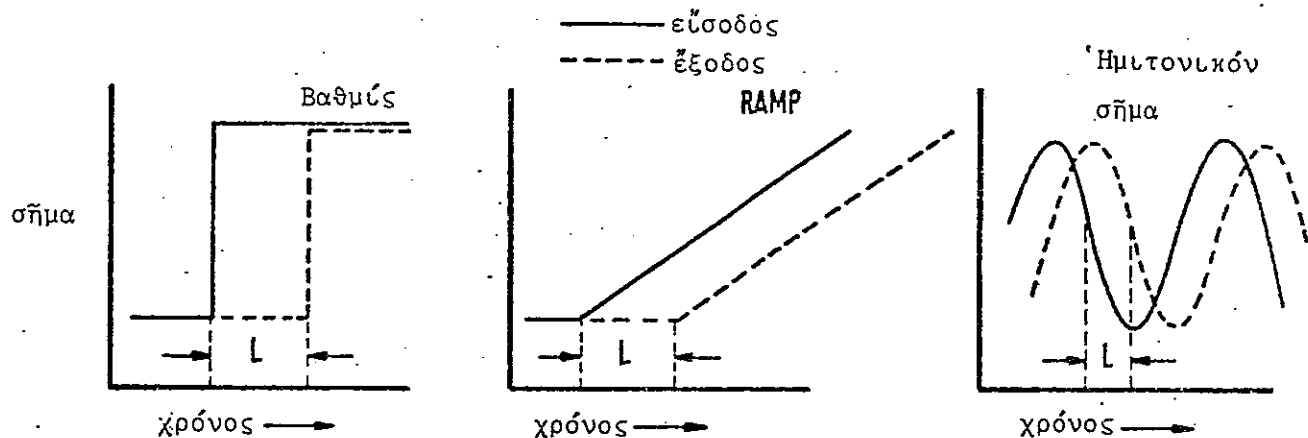
#### Μέρος 2= Καθαρά Χρονική Καθυστέρησις (άπόστασις/ταχύτης)

Μία μεταβολή της συνθήκης λειτουργίας τοῦ ύπό έλεγχον συστήματος έπιδραί ἐπί τοῦ στοιχείου ἀναδείξεως σφάλματος (DETECTING ELEMENT) μετά πάροδον ἐνός χρονικοῦ διαστήματος τό διόποιον ἔξαρτᾶται ἀπό τήν ταχύτητα τῆς διεργασίας καί τήν άπόστασιν τοῦ σημείου είς τό διόποιον ἔλαβεν χώραν ή μεταβολή καί τοῦ στοιχείου ἀναδείξεως σφάλματος (σχ. 4).

Τό χρονικόν τοῦτο διάστημα  $L$  ισοῦται πρός

$$L = (\text{Απόστασις/Ταχύτης})$$

καί καλεῖται "καθαρά χρονική καθυστέρησης" (μεταφορᾶς).



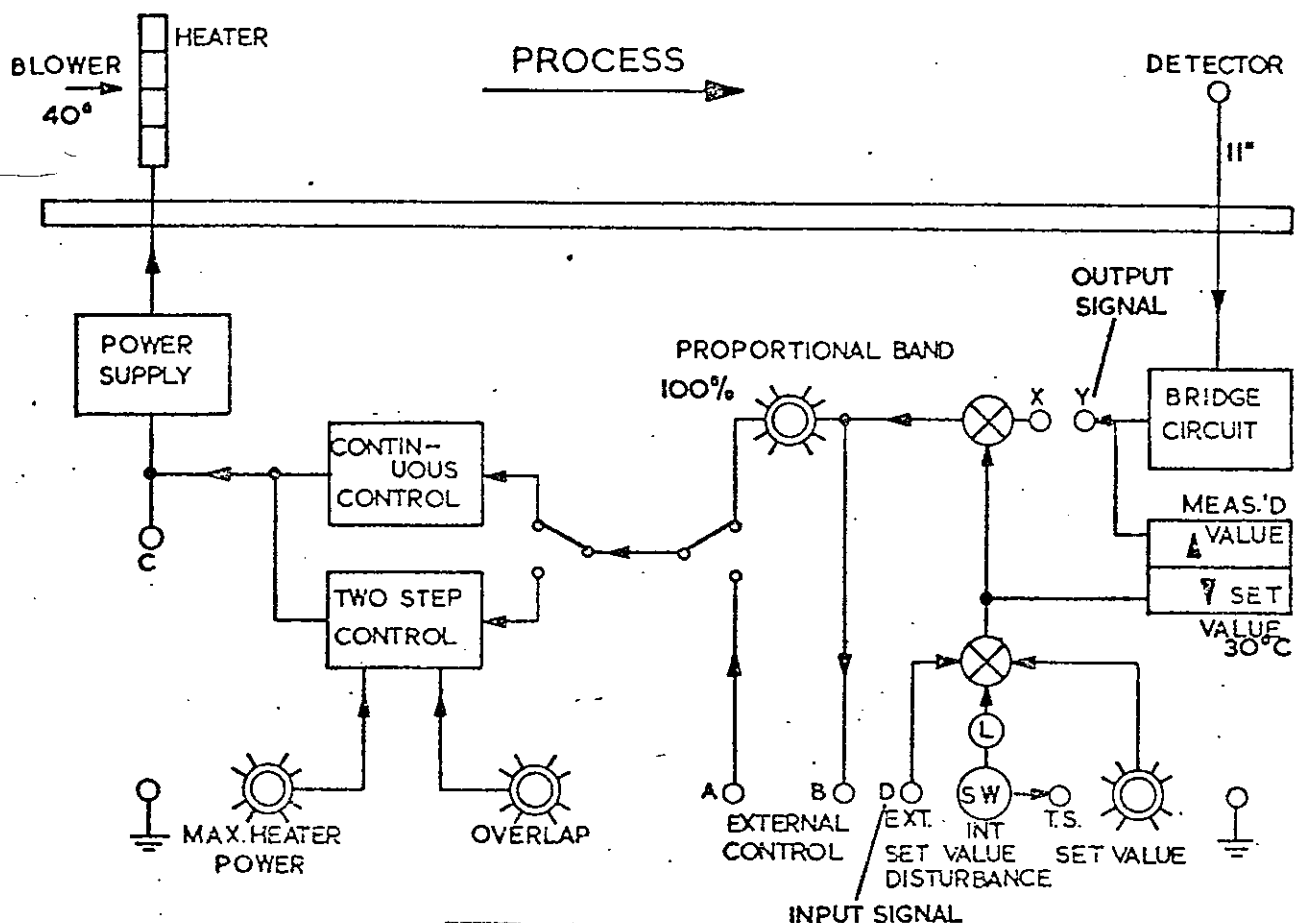
#### DISTANCE / VELOCITY LAG

Σχ.4:

Σχ. 4. Έπειδρασις καθαρᾶς χρονικῆς καθυστερήσεως ἐπειδεικνύεται διαφόρων σημάτων.

Πρός μέτρησιν τοῦ  $L$  ἔργαζόμεθα ὡς ἐξῆς:

1. Προετοιμάζομεν τὴν διάταξιν ὡς εἰς τὸ Σχ. 5.
2. Ρυθμίζομεν τὴν SET VALUE εἰς τοὺς  $30^{\circ}$  C καὶ τὴν εἶσοδον τοῦ φυσητῆρος εἰς τὴν θέσιν  $40^{\circ}$ .
3. Θέτομεν τὸν ἀκροδέκτην τοῦ στοιχείου ἀναδείξεως σφάλματος εἰς τὴν θέσιν  $11''$ .
4. Έφαρμόζομεν εἰς τὴν θέσιν D ἐν τετραγωνικόν σῆμα πλάτους 2 Volts καὶ συχνότητος 0.1 Hz.
5. Συνδέομεν τὴν θέσιν Y τοῦ θερμικοῦ συστήματος, μέ τό κανάλι  $Y_1$ , (1 Volt ὑποδιαίρεσιν) τοῦ παλμογράφου (ἢ εἰς τὸ EXTERNAL TRIGGER ἢν εἴναι μονοκαναλικόν), ρυθμίζοντες τὴν χρονικήν αλίμανα αύτοῦ εἰς  $0.1$  sec/ὑποδιαίρεσιν.
6. Θέτομεν εἰς λειτουργίαν τὴν διάταξιν.
7. Η μορφὴ τῆς MEASURED VALUE δεικνύεται εἰς τὸ Σχ. 6a. Η μεταβολὴ τῆς MEASURED VALUE ἐπέρχεται μέ γαθυστέρησιν  $0.18$  sec. Άρα διά τὰς ἐπιλεγένσας τιμάς ταχύτητος εἰσροής τοῦ ἀέρος καὶ ἀποστάσεως μεταξύ θερμαντικοῦ στοιχείου καὶ στοιχείου ἀναδείξεως σφάλματος ἔχομεν  $L=0.18$  sec.
8. Επαναλαμβάνομεν τὴν ἀνωτέρω ἔργασίαν μέ τὸν ἀκροδέκτην τοῦ στοιχείου ἀναδείξεως σφάλματος εἰς τὴν θέσιν  $1.1''$ . Σχεδιάζομεν τὴν λαμβανομένην ἀπόκρισιν ἀπό τὸ σημεῖον Y.
9. Επαναλαμβάνομεν τὰς ἔργασίας 1. ἕως 8. μέ ἐνδειξιν φυσητῆρος  $60^{\circ}$  (ἀντι  $40^{\circ}$ ). καὶ ἀναφέρομεν τὰ συμπεράσματά μας σχεδιάζοντες τὴν ἀπόκρισιν εἰς τὸ σημεῖον Y.



Σχ.5: Συνδεσμολογία διαί τήν μέτρησιν τής καθαρᾶς χρονικῆς καθυστερήσεως.

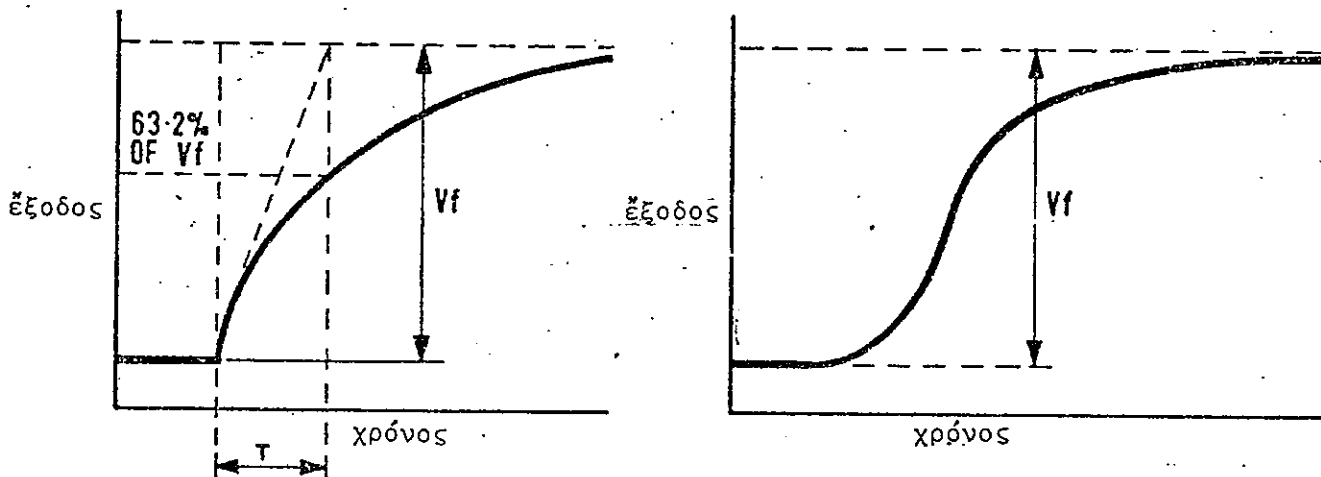
### Μέρος 3: Σταθεραί χρόνου

Πλήν τής καθαρᾶς χρονικῆς καθυστερήσεως (μεταφορᾶς) ή όποια ούδεμίαν έπιδρασιν έχει έπι τής μορφής τοῦ σήματος είσόδου έχομεν καί τήν "καθυστέρησιν δλοικληρώσεως" (σταθεράν χρόνου) ή όποια έπιδραί έπι τής μορφής τοῦ σήματος. Είς έκαστην βαθμίδα μιᾶς θερμικῆς διεργασίας είς τήν όποιαν έχομεν μεταφοράν θερμότητος μέσω μιᾶς θερμικῆς ἀντιστάσεως, ή μεταβολή τής θερμοκρασίας ή όφειλομένη είς μίαν βηματικήν μεταβολήν τής είσόδου είναι έκθετην ὡς δεικνύει τό Σχ. 6α καί φθάνει είς τά 63,2% τής τελικῆς τιμῆς της  $V_f$  μετά πάροδον χρόνου τὸ οὐδεῖος έκφράζει τήν "καθυστέρησιν δλοικληρώσεως" (ή ἄλλως τήν σταθεράν χρόνου) τής βαθμίδος ταύτης. Είς μίαν πλήρη διεργασίαν ύπαρχουν πολλαί σταθεραί χρόνου αἱ όποιαι τροποποιοῦν τήν ἀπόκρισιν ὡς δεικνύει τό Σχ. 6β καί ίσοδυναμοῦν μέ μίαν δλικήν χρονικήν καθυστέρησιν καλούμενην "καθυστέρησιν βηματικῆς ἀποκρίσεως" τής διεργασίας.

Πρός μέτρησιν ταύτης έργαζόμεθα ὡς ἐξῆς.

1. Έκτελοῦμεν τήν συνδεσμολογίαν τοῦ Σχ.7.
2. Ρυθμίζομεν τήν SET VALUE είς τοὺς  $30^{\circ}C$  καί τήν είσοδον τοῦ φυσητήρος είς τοὺς  $40^{\circ}$  καί θέτομεν τόν ἀκροδέκτην τοῦ στοιχείου ἀναδείξεως σφάλματος είς τήν θέσιν 11".

3. Εφαρμόζομεν είς τό σημεῖον D ἐν τετραγωνικόν σῆμα (2 Volts, 0.1 Hz)
  4. Συνδέομεν τό Y μέ τό Y<sub>1</sub> ἐνός δικαναλικοῦ παλμογράφου (ή είς τό EXTERNAL TRIGGER ἐνός μονοκαναλικοῦ τοιούτου), ρυθμίζοντες τάς ἑνδείξεις είς τά 1 Volt/ύποδ. καὶ 0.5 sec/ύποδ.
  5. Θέτομεν είς λειτουργίαν τήν ὅλην διάταξιν καὶ τά βοηθητικά ὅργανα. Η μορφή τῆς MEASURED VALUE ἔχει ὡς είς τό Σχ. 7β.
  6. Επαναλαμβάνομεν τήν ἀνωτέρω ἐργασίαν μέ τόν φυσητήρα είς τήν ἑνδείξιν  $60^{\circ}$ .
- Σχεδιάζομεν τήν ἀπόκρισιν καὶ ἑκθέτομεν τάς παρατηρήσεις μας.



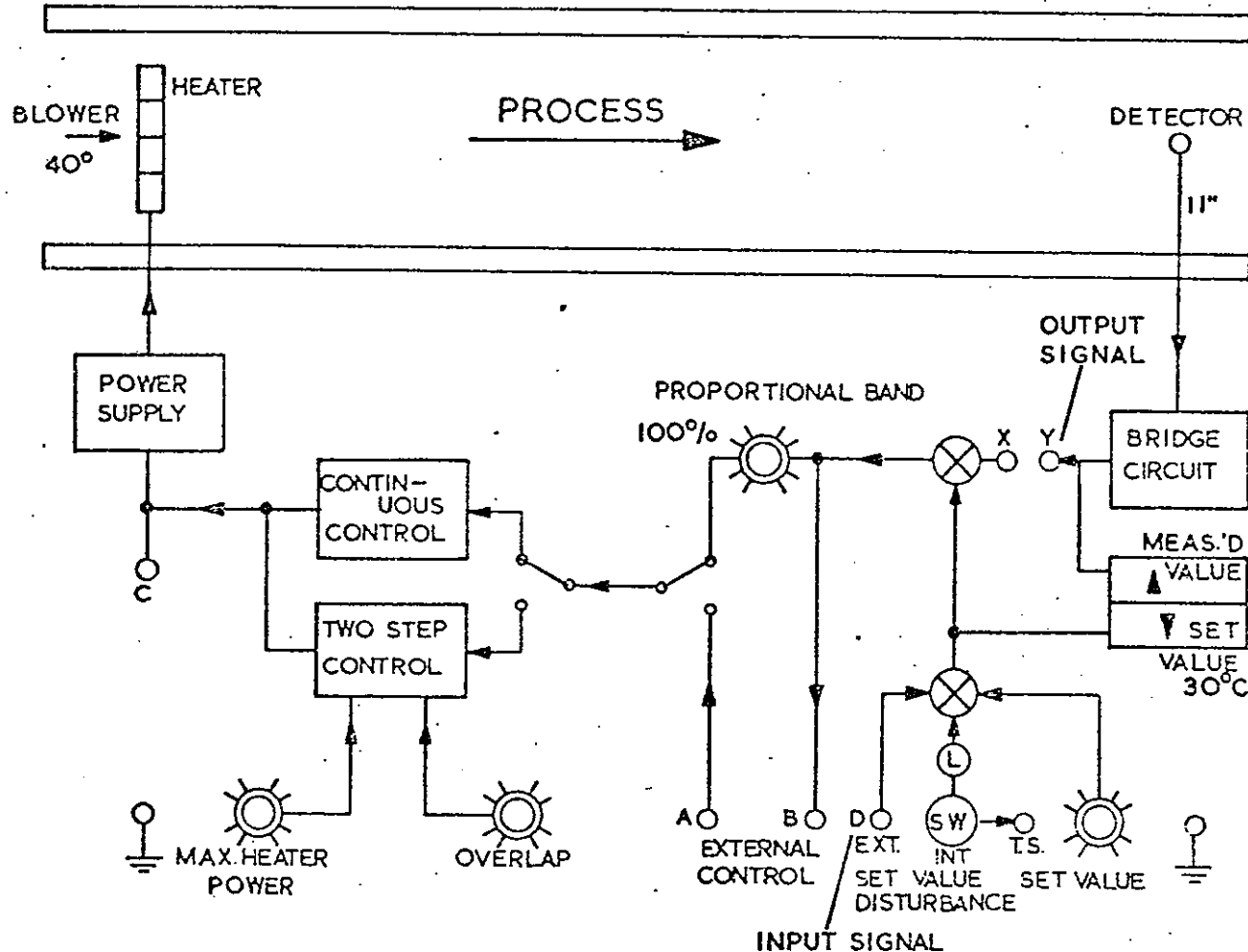
Σχ. 6: Καθυστέρησις βηματικῆς ἀποκρίσεως τοῦ συστήματος. α) Μέα σταθερά χρόνου β) Πολλαί σταθεραί χρόνου.

#### Μέρος 4: Βαθμονόμησις

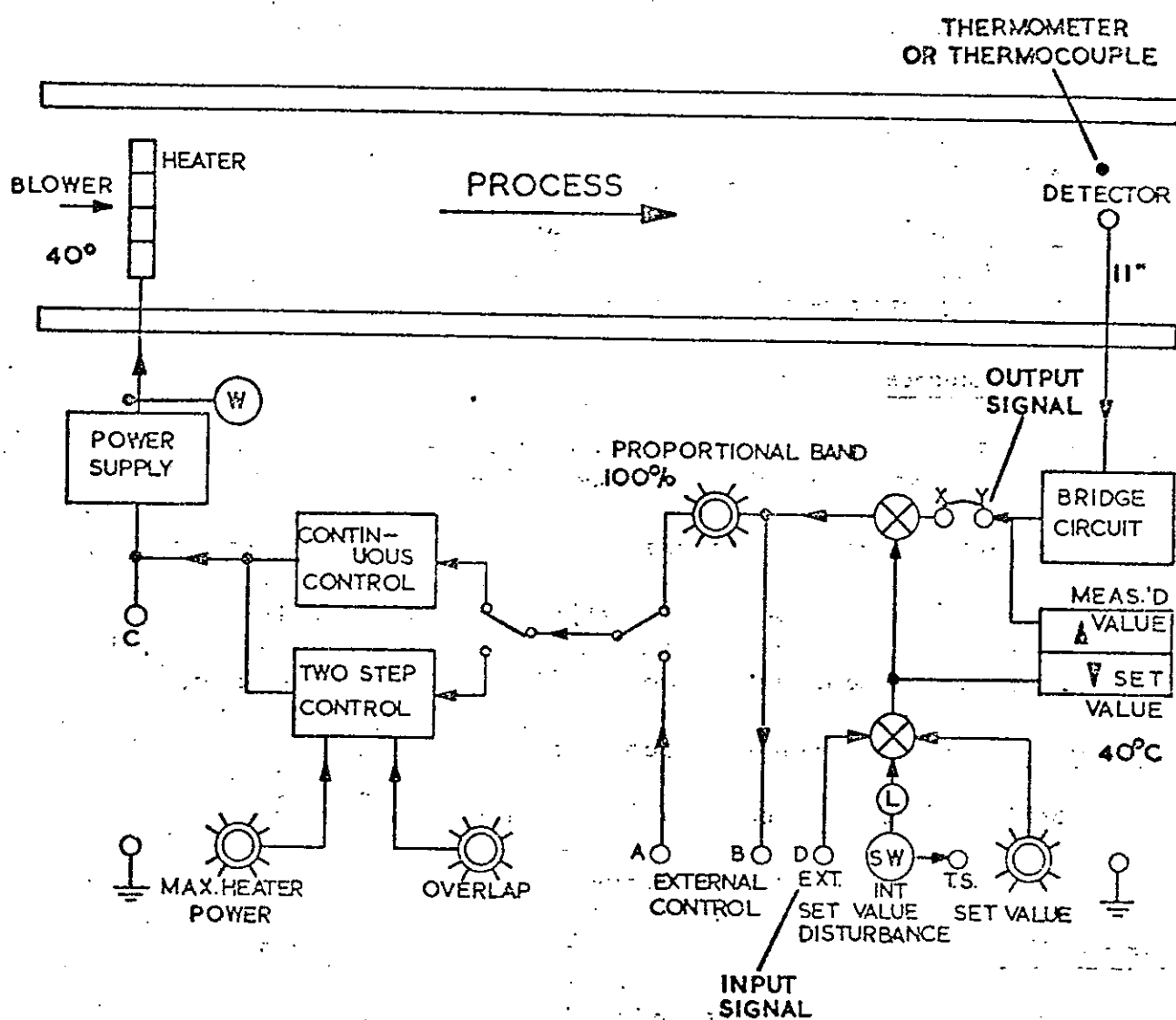
Αἱ στάθμαι τῶν σημάτων μονίμου καταστάσεως είς τά διάφορα σημεῖα τοῦ συστήματος δύνανται νά μετρηθοῦν καὶ νά χρησιμοποιηθοῦν πρός εὕρεσιν τῆς σχέσεως μεταξύ τῆς μετρουμένης τιμῆς, τῆς ἴσχυος τῆς θερμανούσης πηγῆς, τῆς θερμοκρασίας τοῦ ἀέρος κτλ.

Πρός τοῦτο ἐκτελοῦμεν τά ἔξης.

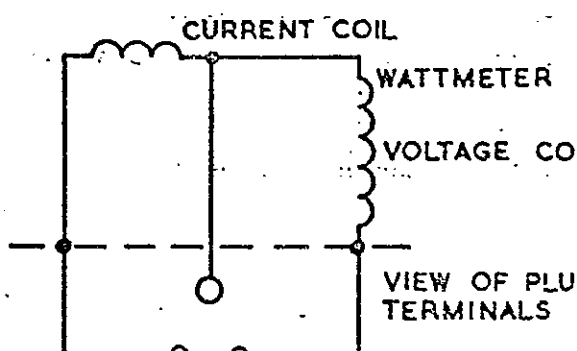
1. Εκτελοῦμεν τήν συνδεσμολογίαν τοῦ Σχ. 8 καὶ θέτομεν τήν εἶσοδον τοῦ φυσητήρος είς τούς  $40^{\circ}$  καὶ τόν ἀκροδέκτην τοῦ στοιχείου ἀναδείξεως σφάλματος είς τήν θέσιν 11".
2. Θέτομεν τό PROPORTIONAL BAND είς τά 100% καὶ συνδέομεν τό βατόμετρον ὡς δεικνύει τό Σχ. 8.
3. Συνδέομεν ἐν βολτόμετρον μεταξύ τοῦ σημείου Y καὶ τῆς γῆς καὶ ἐν ἄλλο μεταξύ τοῦ σημείου B καὶ γῆς.
4. Τοποθετοῦμεν τό θερμόμετρον (κλίμαξ 0-80° C) είς τό ρεῦμα ἀέρος ἐντό τοῦ ἀεραγωγοῦ πλησίον τοῦ ἀκροδέκτου τοῦ στοιχείου ἀναδείξεως σφάλματος.
5. Θέτομεν τήν διάταξιν είς λειτουργίαν.



6. Μεταβάλλομεν τήν τάσιν τοῦ SET VALUE, μετρουμένην εἰς τό σημεῖον B, ἀπό 0-10V κατά μικρά βήματα καὶ εἰς ἕκαστον βῆμα λαμβάνομεν τάς ἐνδείξεις τῆς SET VALUE τῆς ίσχύος τοῦ θερμαίοντος στοιχείου, τῆς θερμοκρασίας τοῦ ἀέρος καὶ τῆς MEASURED VALUE.
7. Σχεδιάζομεν τά διαγράμματα "Ισχύς θερμαντικοῦ στοιχείου-SET VALUE" καὶ "θερμοκρασία ἀέρος-ίσχυς θερμαντικοῦ στοιχείου".



### CONNECTION DIAGRAM



WATTMETER CONNECTIONS

Σχ.8: Συνδεσμολογία διά τήν βαθμονόμησιν τοῦ συστήματος.

### Μέρος 5: Ανάλογος Ελεγχος

Είς μίαν μονάδα άναλόγου έλεγχου τό σήμα έξόδου είναι άκριβώς άναλογον της άποκλίσεως (σφάλματος) μεταξύ της MEASURED VALUE και της SET VALUE. Ο συντελεστής άναλογίας όνομάζεται άναλογος ζώνη (PROPORTIONAL BAND) και έκφραζεται είς έπι τοις έκατόν (%) της αλίμανος τῶν τιμῶν τάς δομών είναι κατασκευασμένη νά μετρᾶ ή μονάς μετρήσεως.

Όταν τό PROPORTIONAL BAND μειούται ή απόκλισις μειούται μέχρις ένός σιμέου διουτό σύστημα καθίσταται άσταθές

#### Πειραματική έργασία

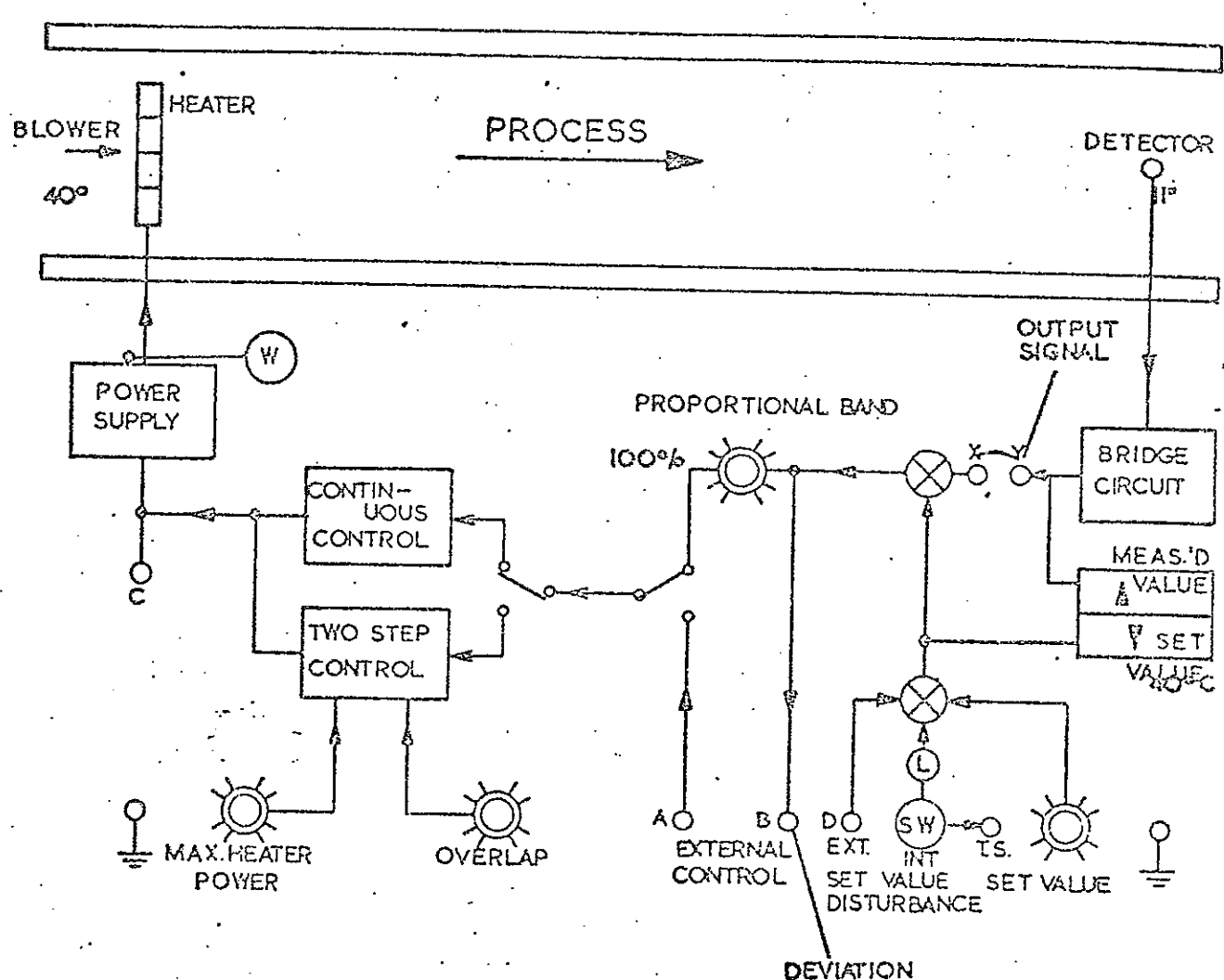
1. Εκτελούμεν τάς συνδέσεις τοῦ Σχ. 9, ρυθμίζομεν τήν SET VALUE είς τούς  $40^{\circ}\text{C}$ , τήν είσοδον τοῦ φυσητήρος είς τούς  $40^{\circ}$  και τό PROPORTIONAL BAND είς τό 100%.
  2. Θέτομεν τόν άκροδέκτην τοῦ στοιχείου άναδείξεως σφάλματος είς τήν θέσιν 11", συνδέομεν τό κανάλι  $Y_1$  τοῦ παλμογράφου (2V/ύποδ.) μέ τό σημεῖον B της διατάξεως, συνδέομεν τό κανάλι  $Y_2$  (2V/ύποδ.) μέ τό σημεῖον Y και ρυθμίζομεν τήν χρονικήν αλίμανα είς τά 0.5 sec/ύποδ. (μέ τόν παλμογράφον είς τό EXTERNAL TRIGGER συνδέομεν μέ τήν ύποδοχή TRIGGER CRO της διατάξεως).
  3. Συνδέομεν τό βατόμετρον ως είς τό Σχ. 9 και θέτομεν είς λειτουργίαν τήν ολην διάταξιν.
  4. Θέτομεν τό διακόπτην τοῦ SET VALUE DISTURBANCE είς τήν θέσιν INTERNAL και παρατηρούμεν τάς μεταβολάς τῶν "SET VALUE", "MEASURED VALUE", "Άποκλίσεως" και "Ισχύος θερμαντικοῦ στοιχείου".
  5. Επαναλαμβάνομεν τήν πρόγραμμένην έργασίαν μεταβάλλοντες σταδιακῶς τό % PB άπό 200% μέχρι 40%.
  6. Είς ιάθε βῆμα λαμβάνομεν μετρήσεις της "άποκλίσεως" και της "Ισχύος τοῦ θερμαντικοῦ στοιχείου" και σχεδιάζομεν τό διάγραμμα "%PB-Ισχύς θερμαντικοῦ στοιχείου".
- Έκθέτομεν τάς παρατηρήσεις μας.

### Μέρος 6: Απόκρισις τοῦ συστήματος

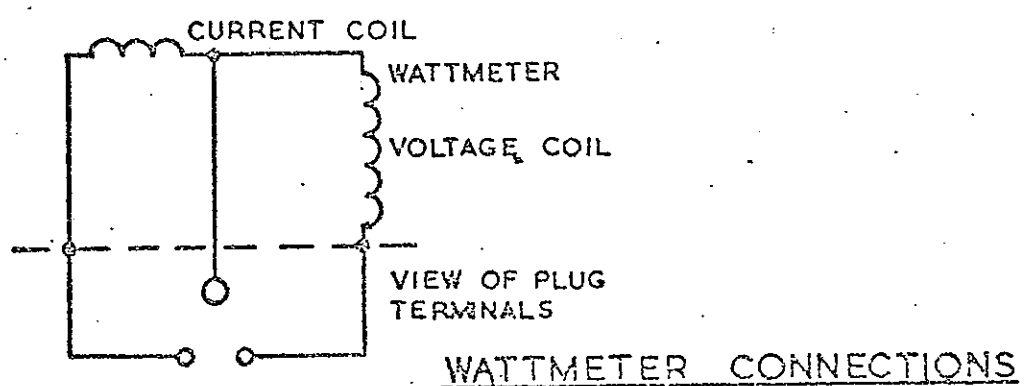
Μία οιαδήποτε διαταραχή της διεργασίας γίνεται αίτια μεταβολῆς της συνθήκης λειτουργίας της και δύναται νά παρουσιασθῇ είτε είς τήν πλευράν της είσοδου ή είς τήν πλευράν της έξόδου τοῦ συστήματος. Είς τήν μελετωμένην διεργασίαν, διαταραχαί τοῦ συστήματος τροφοδοσίας δύναται νά προκληθοῦν λόγω μεταβολῆς:

- a) τοῦ στομίου τοῦ άεραγωγοῦ, β) της θερμοκρασίας τοῦ άέρος και γ) της τάσεως τροφοδοσίας τοῦ θερμαντικοῦ στοιχείου.

Η άπόκρισις τοῦ συστήματος είς μίαν διαταραχήν έξαρτάται άπό τήν τιμήν τοῦ PROPORTIONAL BAND ως δεικνύει τό Σχ. 10:

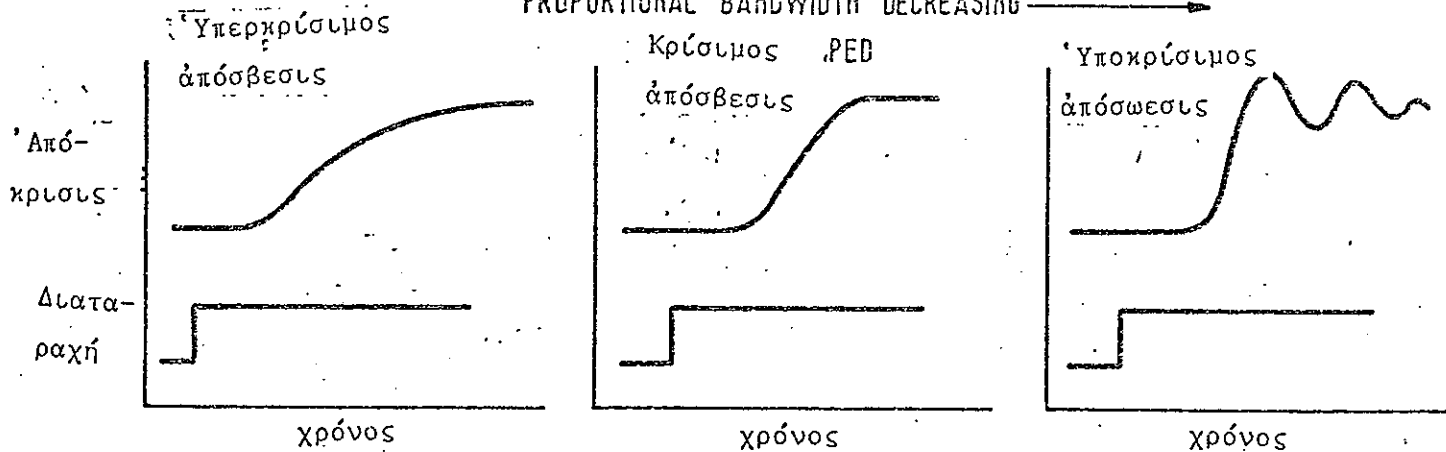


### CONNECTION DIAGRAM



Σχ. 9: Συνδεσμολογία δια την έφαρμογήν άναλόγου έλέγχου.

PROPORTIONAL BANDWIDTH DECREASING



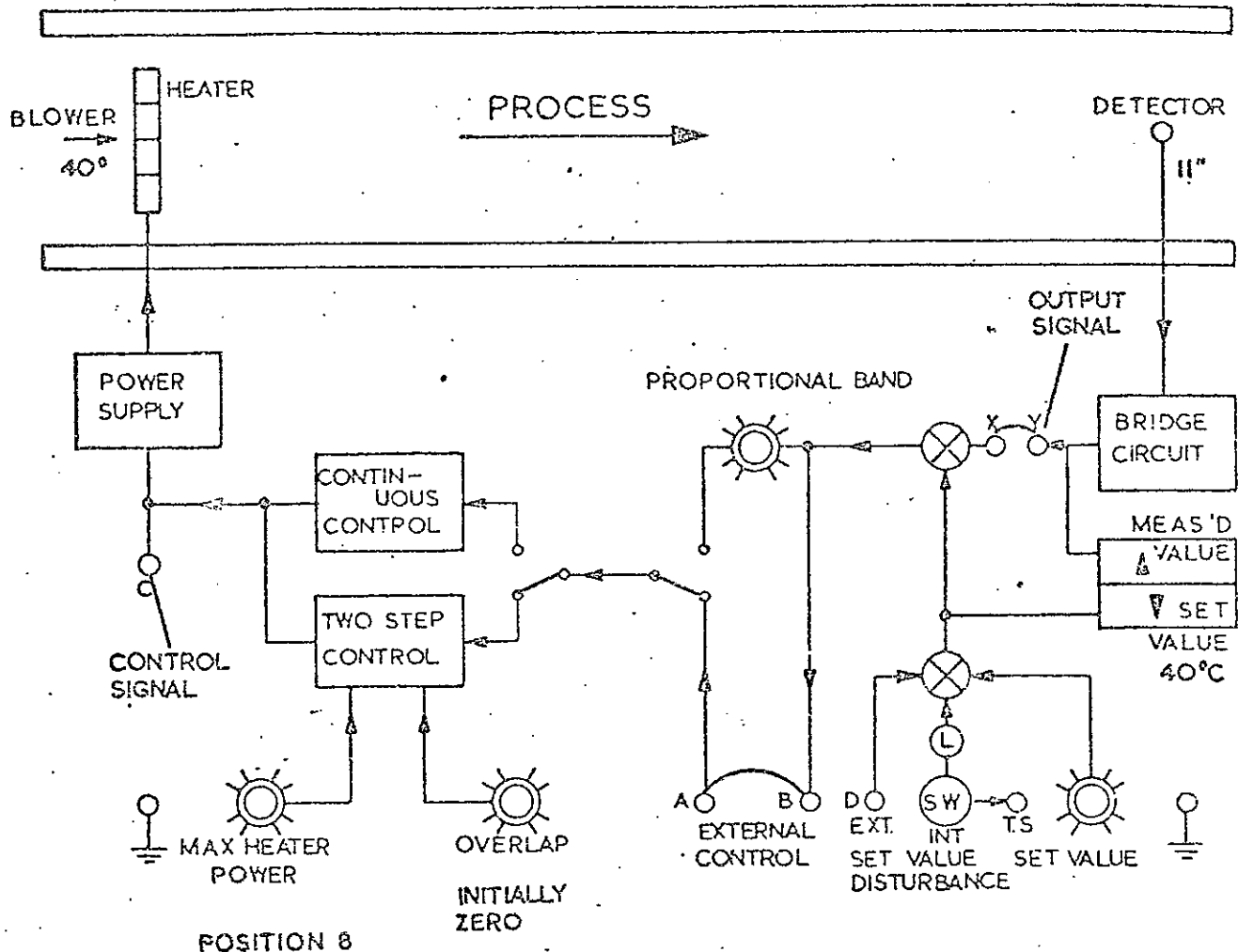
Σχ.10: Βηματική άποκρισις διά διαφόρους τιμάς της έντσχύσεως (PROPORTIONAL BAND).

Πειραματική έργασία

1. Έκτελούμεν τάς συνδέσεις τοῦ Σχ. 11, ρυθμίζομεν τήν SET VALUE εἰς τούς  $50^{\circ}$  C, τό στόμιον τοῦ φυσητήρος εἰς τούς  $40^{\circ}$ , τό PROPORTIONAL BAND εἰς τό 100% καί τόν άκροδέκτην τής μονάδος άναδείξεως σφάλματος εἰς τήν θέσιν 11".
2. Συνδέομεν τό κανάλι  $Y_1$  (1V/ύποδ.) τοῦ παλμογράφου μέ τό σημεῖον Y, τό κανάλι  $Y_2$ , (1V/ύποδ.) μέ τό σημεῖον C καί ρυθμίζομεν τήν χρονικήν αλίμακα τοῦ παλμογράφου εἰς τά 0.5 sec/ύποδ. (μέ INTERNAL TRIGGER) Σημειούται ὅτι διά τήν μέτρησιν τής MEASURED VALUE καί τής έξόδου τής μονάδος έλέγχου δύναται νά χρησιμοποιηθῇ καί βολτόμετρον.
3. Θέτομεν εἰς λειτουργίαν τήν ολην διάταξιν καί (έχοντες τάς προηγουμένας ένδείξεις) αύξανομεν ταχέως τό άνοιγμα τοῦ στομίου τοῦ φυσητήρος άπό  $40^{\circ}$  εἰς  $60^{\circ}$ .  
Πρέπει νά παρατηρήσωμεν μίαν μείωσιν τής MEASURED VALUE καί μία αυξησιν τοῦ σήματος έλέγχου πρός άντιστάθμισιν τής διαταραχῆς.  
4. Έπαναλαμβάνομεν τήν ώς άνω έργασίαν θέτοντες τό PROPORTIONAL BAND εἰς τά 200% καί 30% άντιστοίχως.
5. Θέτομεν τό %PB εἰς τό 50% καί μεταβάλλοντες τό άνοιγμα τοῦ φυσητήρος άπό  $20^{\circ}$  μέχρι  $80^{\circ}$  σταδιακῶς, λαμβάνομεν τάς έκάστοτε ένδείξεις τής MEASURED VALUE καί τής έξόδου τής μονάδος έλέγχου.
6. Σχεδιάζομεν τά διαγράμματα "MEASURED VALUE-άνοιγμα φυσητήρος", "έξοδος μονάδος έλέγχου- άνοιγμα φυσητήρος".

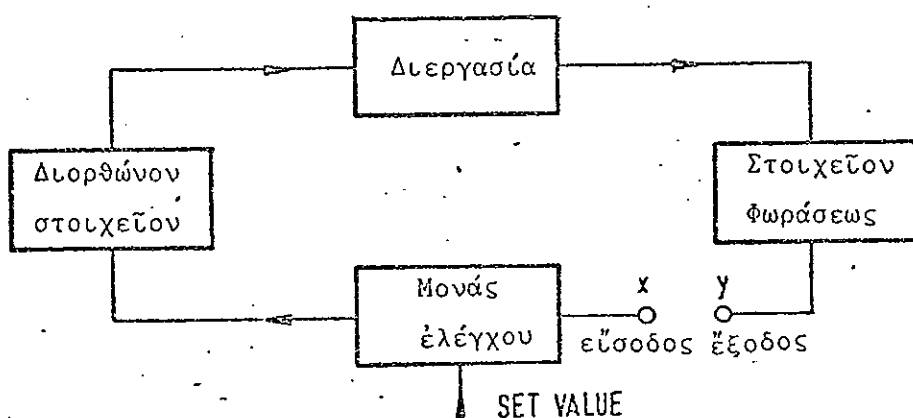
Μέρος 7: Απόκρισις κατά συχνότητα

Μία φυσική διεργασία δύναται έν γένει νά θεωρηθῇ ὅτι άποτελεῖται ἀπό μίαν καθαράν καθυστέρησιν μεταφορᾶς καί μίαν σειράν βαθμίδων έκάστη τῶν ὅποιων έχει ίδιαν σταθεράν χρόνου.



Σχ.11: Συνδεσμολογία δια τήν μέτρησιν τής χρονικής άποκρίσεως τοῦ συστήματος

Η άποκρισις συχνότητος δύναται νά σχεδιασθῇ εἰς τό πολικόν διάγραμμα (Nyquist) ή τό διάγραμμα Bode. Πρός προσδιορισμόν τής άποκρίσεως συχνότητος άνοιγμεν τόν βρόχον έλέγχου ως δεικνύει τό Σχ. 12 καὶ έφαρμόζομεν άρμονικόν σήμα μεταβλητῆς συχνότητος εἰς τήν εἶσοδον. Βασικός στόχος είναι ή εύρεσις τής κρισίμου συχνότητος εἰς τήν δύοίαν ή ύπό τοῦ συστήματος εἰσαγομένη καθυστέρησις φάσεως εἶναι  $180^\circ$  καὶ ή μέτρησις τής ένισχύσεως εἰς τήν συχνότητα ταύτην.



Σχ.12: "Ανοιγμα τοῦ βρόχου δια τήν μέτρησιν τής άποκρίσεως κατά συχνότη

Η άπολαβή και η καθυστέρησης φάσεως του συστήματος δίδονται υπό τών τύπων

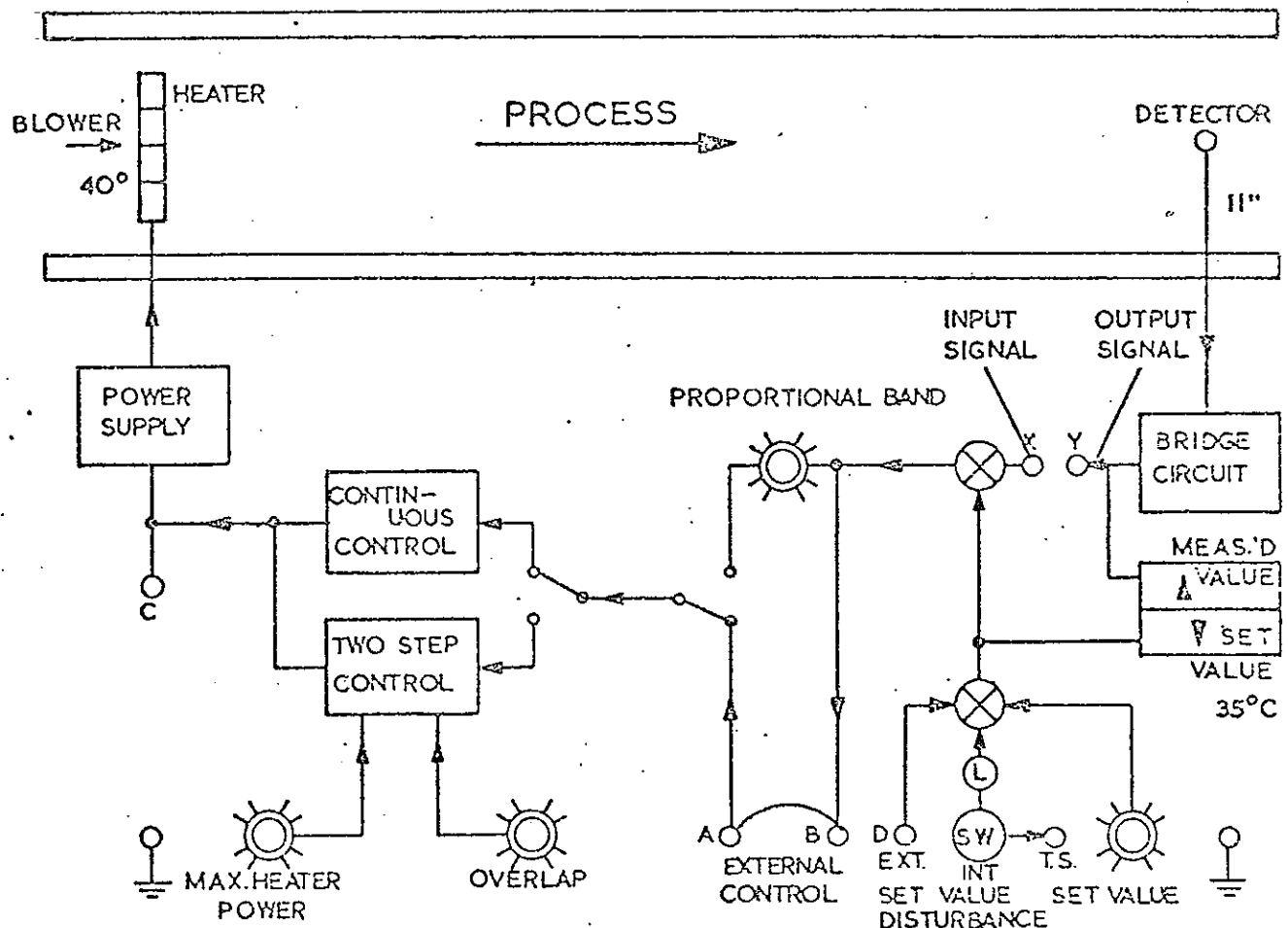
$$G = \frac{\text{Μεταβολή σήματος έξόδου}}{\text{Μεταβολή σήματος είσοδου}}$$

$$\Phi = \frac{\text{Χρονική καθυστέρησης, είσοδου-έξόδου, είς sec} \times 360}{\text{περίοδος σήματος, είς sec}}$$

Εάν τά σήματα έξόδου και είσοδου δέν έχουν τάς αύτάς φυσικάς διαστάσεις, τότε πρός άποφυγήν συντελεστών μετατροπής χρησιμοποιούμεν τήν "άνάλογον ζώνην" PB είς % τής περιοχής έντός τής όποιας έπιτρέπεται νά λειτουργεῖ ή μονάς μετρήσεως. Η σχέσις τών G και PB είναι

$$G=1/(%/PB)$$

Η μονάς άναλογου έλεγχου δίδει έξοδον άνάλογον τής άποκλίσεως άλλα είς άντιθεσιν φάσεως πρός αύτήν. Ούτω έάν τό σύστημα είσαγει πρόσθετον όλισθησιν φάσεως  $180^\circ$  καί ιλείση δι βρόχος ύπαρχει μία συχνότης είς τήν όποιαν τό σήμα διαταραχής και ή έξοδος εύρισκονται έν φάσει. Εάν είς τήν συχνότητα ταύτην τό γινόμενον τής άπολαβής τής μονάδος έλεγχου και του ύπο έλεγχον συστήματος είναι ίση ή μεγαλυτέρα τής 1, τό σύστημα έκτελετ συντηρουμένας ή αύξανομένας ταλαντώσεις δηλ. έχομεν άστάθεις

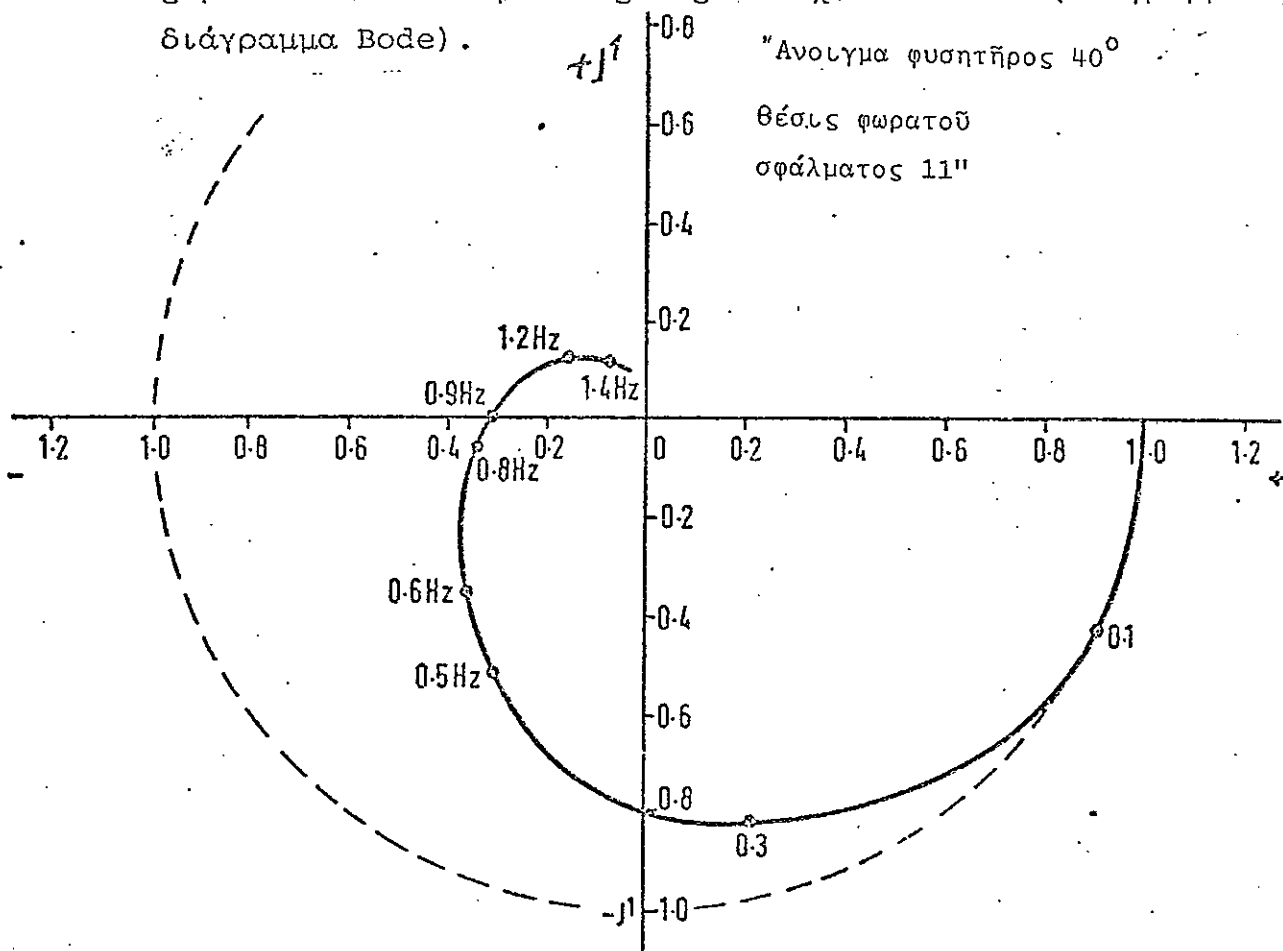


Σχ.13: Συνδεσμολογία δια τήν μέτρησιν τής άποκρίσεως κατά συχνότητα.

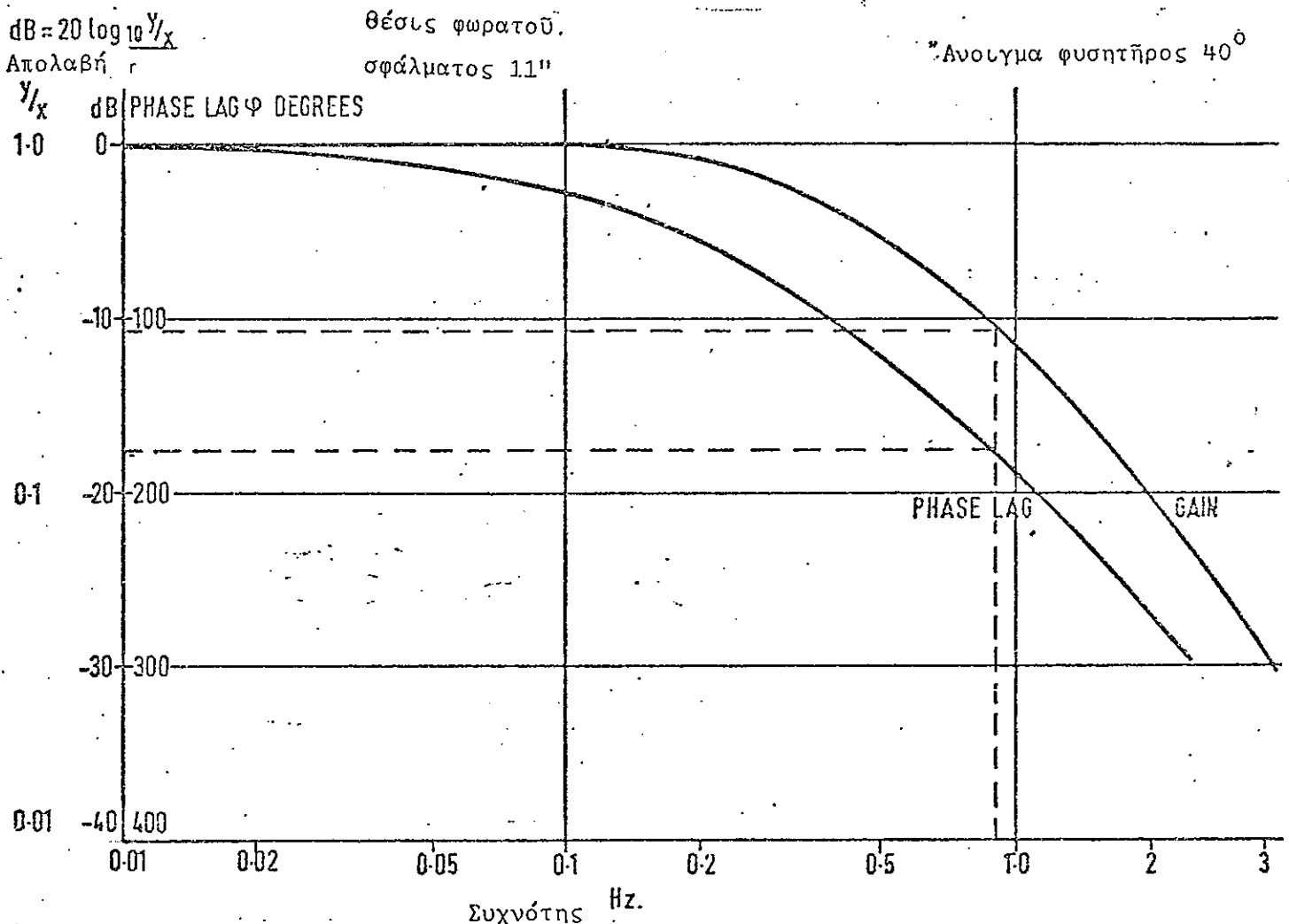
Πειραματική έργασία

A. Απόκρισις συχνότητος

1. Εκτελούμεν τάς συνδέσεις τοῦ Σχ. 13.
2. Ρυθμίζομεν τό SET VALUE εἰς τούς  $35^{\circ} \text{ C}$ .
3. Ρυθμίζομεν τήν εἶσοδον τοῦ φυσητήρος εἰς τάς  $40^{\circ}$ .
4. Θέτομεν τόν άκροδέκτην τοῦ στοιχείου άναδείξεως σφάλματος εἰς τήν θέσιν 11".
5. Θέτομεν τό κανάλι Y1 τοῦ παλμογράφου εἰς τό 2V/ύποδιαίρεσιν καί τό συνδέομεν μέ τήν ύποδοχήν X τοῦ θερμικοῦ συστήματος.
6. Θέτομεν τό κανάλι Y2 εἰς τό 2V/ύποδιαίρεσιν καί τό συνδέομεν μέ τήν ύποδοχήν Y τοῦ θερμικοῦ συστήματος.
7. Θέτομεν τήν χρονικήν αλίμακα εἰς τό 1.0 sec/ύποδιαίρεσιν (INTERNAL TRIGGER).
8. Εφαρμόζομεν εἰς τήν ύποδοχήν X τοῦ θερμικοῦ συστήματος μίαν ήμιτε νικήν τάσιν πλάτους 2V καί συχνότητος 0.1 Hz.
9. Θέτομεν εἰς λειτουργίαν τό θερμικόν σύστημα καί τά δργανα μετρήσε
10. Διά συχνότητα είσόδου 0.1 Hz μετροῦμεν τό πλάτος καί τήν διαφοράν φάσεως είσοδου-έξοδου.
11. Επαναλαμβάνομεν τά άνωτέρω διά συχνότητας μέχρις 3 Hz καί σχεδιάζομεν τά άποτελέσματα ώς εἰς τά Σχ. 14 καί 15 (διάγραμμα Nyquist καί διάγραμμα Bode).



Σχ. 14: Διαγράμματα Nyquist.



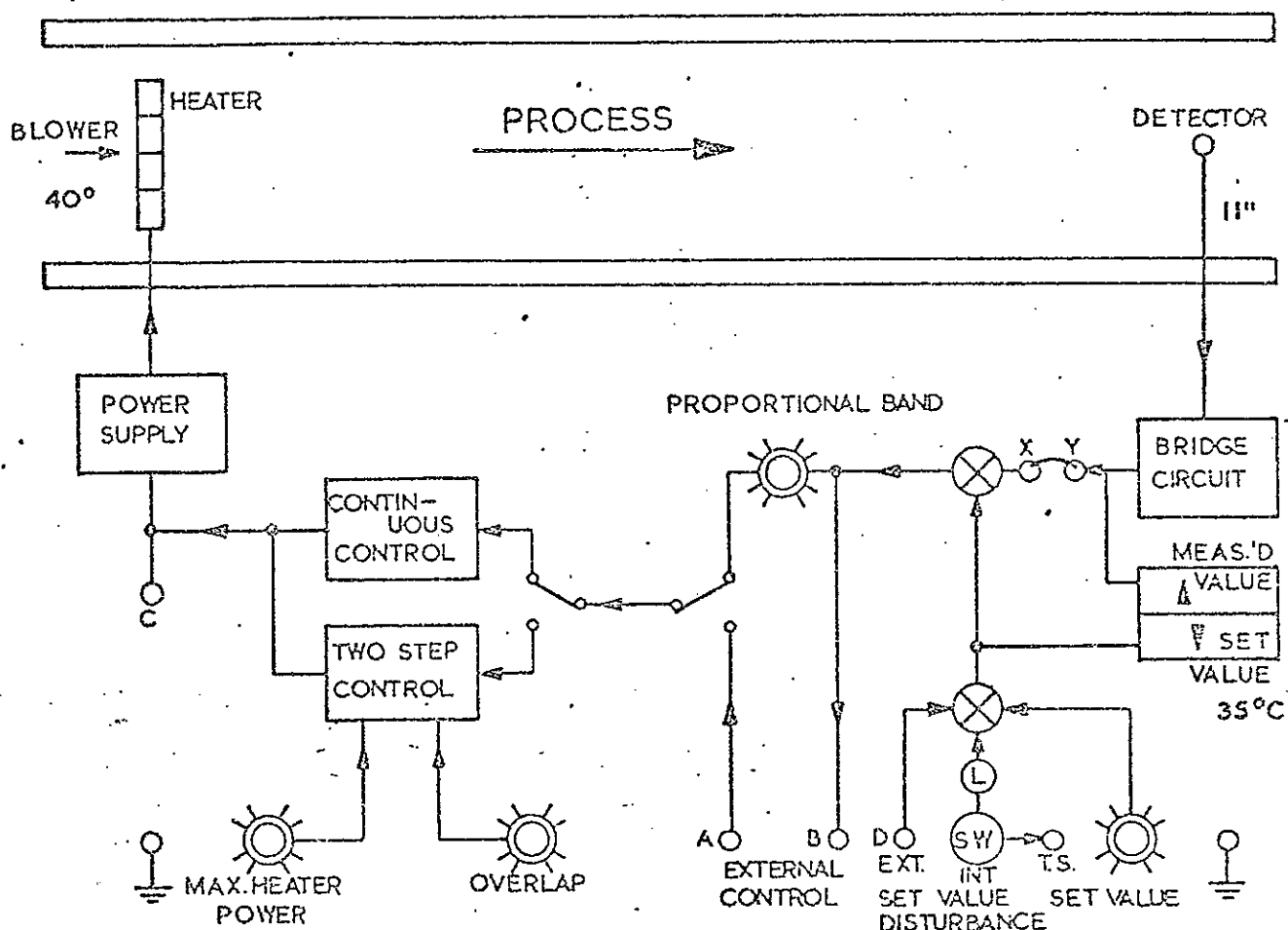
Σχ.15: Διάγραμμα Bode

B. Εκλογή ένισχύσεως της μονάδος έλέγχου

1. Εκτελούμεν τάς συνδέσεις τοῦ Σχ. 16, ρυθμίζομεν τό SET VALUE εἰς τούς  $35^\circ C$ , τήν εἶσοδον τοῦ φυσητήρος εἰς τούς  $40^\circ$  και θέτομεν τόν άκροδέκτην τοῦ στοιχείου άναδείξεως σφάλματος εἰς τήν θέσιν 11".
  2. Θέτομεν τό κανάλι Y1 τοῦ παλμογράφου εἰς τό 2V/ύποδιαιρεσιν και τό συνδέομεν μέ τήν ύποδοχήν Y τοῦ θερμικοῦ συστήματος. Ακολούθως θέτομεν τήν χρονικήν αλίμακα εἰς τό 1 sec/ύποδιαιρεσιν διεγειρομένην ύπό γεννητρίας σήματος.
  3. Εφαρμόζομεν εἰς τήν ύποδοχήν D τετραγωνικόν σήμα πλάτους 2V και συχνότητος 0.2Hz.
  4. Θέτομεν τάς διατάξεις εἰς λειτουργίαν
  5. Ρυθμίζομεν τήν "άνάλογον ζώνην" %PB εἰς τήν τιμήν ή όποία εύρεθη διά της άποκρίσεως συχνότητος, βάσει της έξισώσεως  

$$\%PB = (\text{Κρίσισμος άπολαβή}) \times 100\%$$
- και έλέγχομεν έάν είναι άρκετή διά νά άναγκάση τό σύστημα εἰς ταλαντώσεις

6. Διπλασιάζομεν τήν τιμήν του %PB και έπαληθεύομεν ότι τό σύστημα είναι εύσταθές.



Σχ.16: Συνδεσμολογία δια τήν έκλογήν τῆς ένταξης τῆς μονάδος έλεγχου.

#### Μέρος 8: "Ελεγχος δύο και τριών όρων

Διά τόν έλεγχον δύο και τριών όρων τῆς θερμικῆς διεργασίας PT326 χρησιμοποιούμεν τόν προσομοιωτήν έλεγχου PCS327 τῶν άσκήσεων 3 και 4 (βλ.

Έργαστ. Ασκήσεις Συστ. Αύτομ. Έλεγχου-Σειρά I)

Η πειραματική έργασία μας έχει ως έξης.

1. Είς τό θερμικόν σύστημα έκτελούμεν τάς συνδέσεις αι δόποιαι δεικνύοντα είς τό Σχ.17, ρυθμίζομεν τήν SET VALUE είς τούς 40°C, τό άνοιγμα είσοδου τοῦ φυσητήρος είς τούς 40°, και τόν άκροδέκτην τοῦ στοιχείου άναδείξεως σφάλματος είς τήν θέσιν 11".

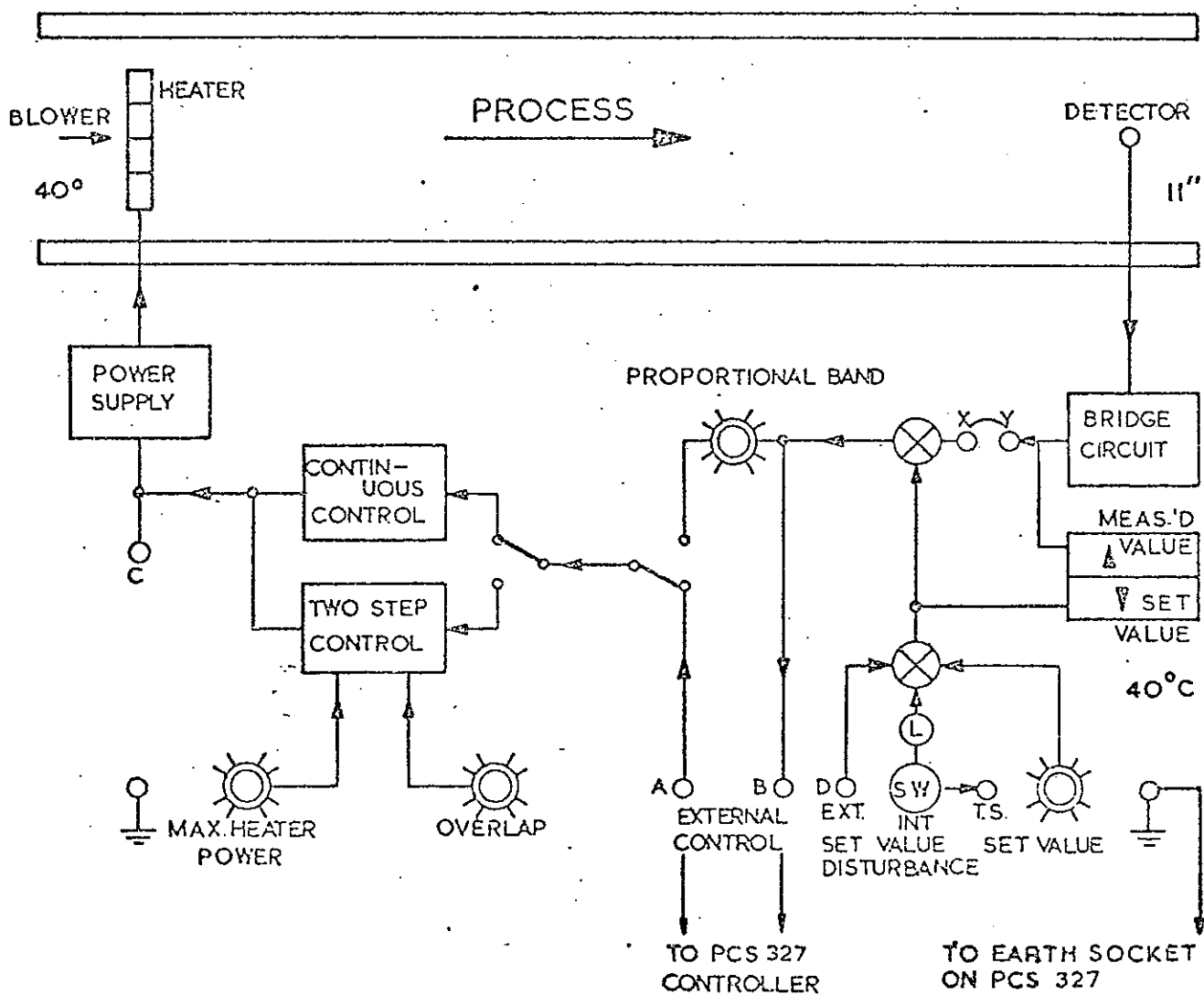
2. Είς τόν προσομοιωτήν έλεγχου έκτελούμεν τάς συνδέσεις τοῦ Σχ. 18 και τόν συνδέομεν μέ τό θερμικόν μας σύστημα.

3. Ρυθμίζομεν τάς παραμέτρους τοῦ προσομοιωτοῦ έλεγχού είς τάς κάτωθι άρχικάς τιμάς

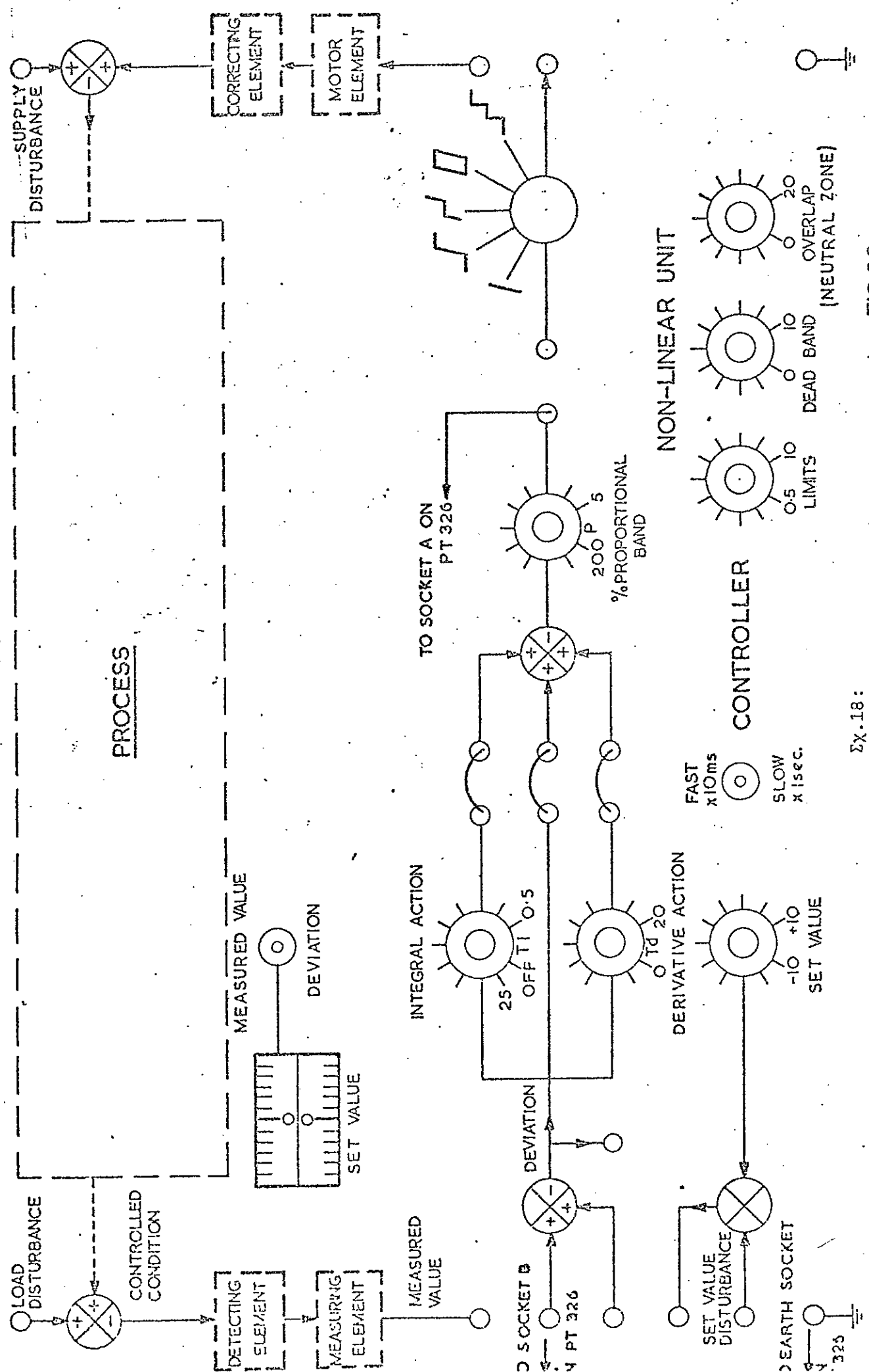
$$\%PB = 2P_o, \tau_i = T_o, \tau_d = \frac{T}{5}$$

όπου  $P_o$  είναι ή % εκφρασις της αριστέμου άπολαβής, και  $T_o$  ή περίοδος των ταλαντώσεων είς την αρέσιμον κατάστασιν (αἱ τιμαὶ αὐταὶ εύρεθησαν είς τό Μέρος 6: 'Απόκρισις κατά συχνότητα').

4. Εφαρμόζομεν είς τήν υποδοχήν D τοῦ θερμικοῦ συστήματος ἐν τετραγωνικόν σῆμα πλάτους 2 Volts καὶ συχνότητος 0.1 Hz.
5. Συνδέομεν τό Y1 (1V/ύποδ.) τοῦ παλμογράφου μέ τήν υποδοχήν Y τοῦ θερμικοῦ συστήματος, τό Y2 (1V/ύποδ.) μέ τήν υποδοχήν B τούτου καὶ θέτομεν τήν χρονικήν ηλίμακα είς τό 1 sec/ύποδ. (INTERNAL TRIGGER).
6. Θέτομεν είς λειτουργίαν τήν διάταξιν καὶ παρατηροῦμεν τήν άποκρισιν τοῦ συστήματος είς μίαν βηματικήν μεταβολήν τῆς SET VALUE. Μέ τάς έκλεγείσας τιμάς τῶν παραμέτρων θά πρέπει νά έχωμεν μηδενικήν άποκλισιν μέ μικράν ύπερβψωσιν.
7. Παρατηροῦμεν τήν έπιδρασιν ἐπί τῆς άποκρίσεως καὶ τῆς άποκλίσεως, με ταβολῶν είς τάς παραμέτρους τοῦ άναλόγου δύων, τοῦ ορού διλογικούς καὶ τοῦ ορού παραγώγού τῆς μονάδος ἐλέγχου.



Σχ.17. Συνδεσμολογία διὰ τῶν ἐλεγχού δύο καὶ τριῶν ορῶν.



EIC29

- Πρός πειραματικόν προσδιορισμόν τῶν τιμῶν τῶν %PB  $\tau_i$  καὶ  $\tau_d$  χωρίς νάχρησιμοποιήσωμεν τήν άπόκρισιν συχνότητος έργαζόμεθα ως ἐξῆς:
8. Θέτομεν τόν χρόνον δράσεως δλοκληρώματος (INTEGRAL ACTION TIME)  $\tau_i$  εἰς τήν μεγίστην (OFF) θέσιν καὶ τόν χρόνον δράσεως παραγώγου (DERIVATIVE ACTION TIME)  $\tau_d$  εἰς τό μηδέν
  9. Μειώνομεν τήν άνάλογον ζώνην μέχρι τήν τιμήν ὅπου λαμβάνουν χώραν ταλαντώσεις (δηλαδή εἰς τήν τιμήν  $%PB=P_o$  ὅτε ἡ περίοδος ταλαντώσεων εἶναι  $T_o$ ).
  10. Διπλασιάζομεν τήν τιμήν ταύτην δηλαδή θέτομεν  $%PB=2P_o$ .
  11. Μειώνομεν τό  $\tau_i$  μέχρις ὅτου λάβωμεν OFFSET μηδέν.
  12. Παρατηροῦμεν τήν άπόκρισιν τοῦ συστήματος εἰς μίαν βηματικήν μεταβολήν τῆς είσοδου (STEP DISTURBANCE). Αύξανομεν τό  $\tau_d$  μέχρις ὅτου ἡ υπερύψωσις εἶναι περίπου 20%.
- Τυπικαί τιμαί διά ταχείαν άπόκρισιν χωρίς OFFSET εἶναι  
 $%PB=50\%$ ,  $\tau_i=1sec$ ,  $\tau_d=0.1sec$